

送電用 電力 케이블의 전기적 특성(1)

The Prospects for Undergound Transmission System in Korea

기술해설

21~1~1

이재숙*
(Chae Sook Lee)

筆者註, 架空送電線의 전기특성은 corona 損等 특수한 것을 제외하고는 이론공식에 의하여 비교적 간단히 그리고 정확한 數値을 구할 수 있었으나, 地中線의 전기특성은 導體의 近接效果, 絶緣體의 誘導損, pipe 내의 湧流損, 그리고 土壤의 放熱效果等이 그 영향을 미치므로 간단치 않고 따라서 그 이론공식도 대단히 복잡하다. 그러나 본문에서는 관계기술서적에서 필요부분을抄錄하여 우리나라에서 初로 사용될 154KV pipe type cable의 線路定數 許容電流等 그 전기특성을 산출하는데 필요한 數式을 소개하고, 그 계산도 실시하고자 한다.

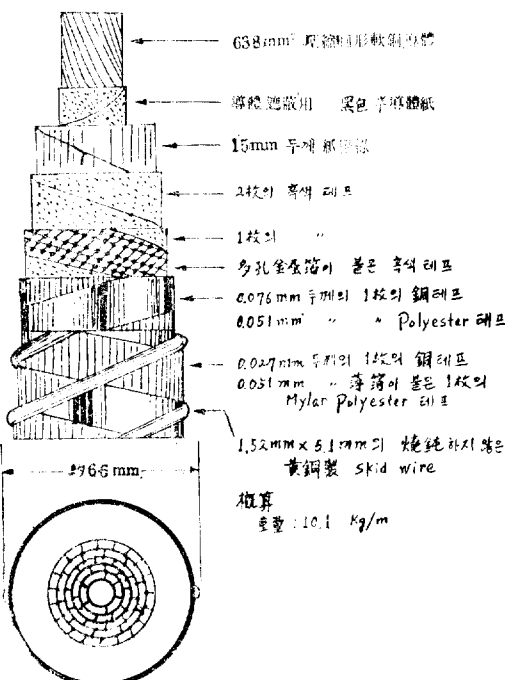


그림 1. pipe type 케이블의 구조

*정회원 : 주식회사 체인기준단장무아사

1. pipe type cable의 構造

韓電에서 현재 購買途中에 있는 cable의 技術化樣은 대략 아래와 같다.

公稱電壓 : 161KV.

導體 : 單心 633.4mm² 圓形壓縮軟銅撲線.

鋼管 : 外徑 : 6 5/8吋

두께 : 1/4吋

材質 : ASTM-A-523

coating; 外部 0.06吋以上의

押出 polyethylene.

內部 : dearclas 745 compound.

絕緣油 : polybutene 系 210°F의 粘度: 約 60.

設置方法 : 直埋式

길이 : 0.91m(30呎)

間隙 : 0.61m(2呎)

이상과 같은 仕樣에 應札한 대표적 cable의 구조는 그림 1과 같으며, 導體의 主要絕緣材는 抽含浸紙이고, 그 全體두께는 15mm 정도였다.

钢管內에는 3條의 cable芯이 삽입되며, 이러한 cable芯의 鋼管內部에서의 배열형태는 두 종류로 구분될 수 있으며, 그 하나는 정삼각형이고, 다른 하나는 cradle形이다.

2. 線路定數

1항에서 설명한 pipe type cable의 導體抵抗, inductance, capacitance 및 conductance를 산출하는데 사용되는 수식을 소개하고자 한다.

1) 導體의 交流抵抗(r)

地中 cable의 交류저항은 그 直流抵抗(r_0)을 기준으로 하여 다음식에 의하여 계산할 수 있다.

$$r = r_0 \times k_1 \times k_2$$

단, r_0 ; 20°C에 있어서 直流最大抵抗(Ω/cm)

k_1 :任意의 最高許容溫度의 抵抗과 20°C 에 있어서

抵抗과의 比.

k_2 :交流抵抗과 直流抵抗과의 比.

상기에 있어서, k_1 는 架空線에 있어서와 같이 다음식에 의하여 계산한다.

$$k_1 = \{1 + \alpha(T_1 - 20)\}$$

여기서 α 는 抵抗溫度係數

銅 : 0.00393

아루미 : 0.004

k_2 는 다음식에 의하여 계산되고 地中 cable에 특이한 균점효과를 내포하고 있다.

$$k_2 = \{1 + \beta(\lambda_s + \lambda_p)\}$$

여기서, λ_s : 表皮効果係數

λ_p : 近接効果係數

β : pipe type cable에 對한 係數

1.7………正三角形配置.

2.0………cradle 配置.

한편, 20°C 에 있어서 直流最大抵抗은 대체로 架空線의 경우와 같이 다음식에 의하여 계산된다.

$$r_0 = \frac{10^3}{58Aq_c} k_1 \cdot k_2 \cdot k_3 \cdot k_4 (\Omega/\text{km})$$

但, A : 導體斷面積 (mm^2)

표 1. 導電率

種類	素線徑(mm)	導電率
硬 銅 線	0.40以上~2.0未滿	0.96
	2.0 以上~12.0以下	0.97
軟 銅 線	0.10以上~0.30未滿	0.98
	0.30以上~0.50 "	0.99
	0.50以上~12.0以下	1.00
錫鍍金硬銅線	0.80以上~1.0 未滿	0.94
	1.0 以上~2.0 "	0.95
	2.0 以上~8.0 以下	0.96
錫鍍金軟銅線	0.10以上~0.26未滿	0.93
	0.26以上~0.50 "	0.94
	0.50以上~2.0 "	0.90
	2.0 以上~8.0 "	0.97
	8.0 以上~12.0 "	0.98

注: 아루미 導體의 導電率은 61%

非壓縮導體………計算斷面積.

壓縮導體………公稱斷面積.

q_c 導電率

銅導體의 導電率(q_c)은 표 1과 같고,

素線撲込率(k_3)은 표 2와 같다.

표 2. 素線撲込率

撲線方法	素線撲込率	
同 心 撲 線	素線數≤60	1.02
	素線數≥61	1.03
中 空 撲 線	5層以上:	1.04
	4層以下	1.03
壓 縮 導 體 (分割導體包含)	200mm ² 及 2以下	1.02
	201mm ² 以上	1.03

다음 多心 cable의 集合撲込率(k_2)는 표 3과 같다.

표 3. 集合撲込率

cable의 種類	集合撲込率	
抽紙 cable	分割導體	1.01
	分割導體以外의 多心 cable	1.01
고무 plastic cable	分割導體	1.01
	分割導體以外의 多心 cable	1.02

다음 壓縮成形에 의한 加工硬化係數(k_4)는 표 4와 같다.

표 4. 加工硬化係數

銅 導 體	아루미 導體
成形導體 $500 > A > 325 \cdots 1.0$	成形導體………1.01
$250 > A > 100 \cdots 1.005$	壓縮導體………1.01
$80 > A \cdots 1.01$	
壓縮導體	1.01

다음 最大導體抵抗係數(k_4)는 표 5와 같다.

표 5. 最大導體抵抗係數

cable 種類	最大導體抵抗係數(k_1)		備考
	壓縮導體		—
抽紙 cable	中空撲線	$(d/d - \Sigma)^2$	d : 標準素線徑 (mm) Σ : 公差 (mm)
	圓形撲線	$\frac{1}{2}(d/d - \Sigma)^2$	$1.0 \leq d < 3.2$ $\Sigma = 0.04$ $3.2 \leq d < 6.0$ $\Sigma = 0.03$
	圓形・扇形導體	素線徑 2.0mm 未滿 1.04 " 2.0mm 以上 1.03	—
고무 plastic cable	壓縮成形導體	1.03	—

다음 본문에 되돌아가, k_2 에 내포되어 있는 表皮效果(λ_s)와 近接效果(λ_p)를 산출하는 수식을 소개한다.

(a) 表皮效果의 계산식

圓形 및 分割中空導體의 경우

$$\lambda_s = F(x) = \frac{X \{ \operatorname{ber} X \operatorname{bei}' X - \operatorname{bei} X \operatorname{ber}' X \}}{2 \{ (\operatorname{ber}' X)^2 + (\operatorname{bei}' X)^2 \}} - 1$$

$$X = \sqrt{\frac{8\pi f \mu_s \cdot K_s}{r_0 K_5 \times 10^9}}$$

$$K_s = \begin{cases} \text{非分割導體} & 1 \\ \text{4分割} & 0.44 \\ \text{6分割} & 0.39 \end{cases}$$

단, $r_0 K_5$: 사용온도에 있어서 直流導體抵抗 (Ω/cm)

μ_s : 導體의 比透磁率 銅 및 아루미 1.0

(b) 近接效果의 계산식

$$\lambda_p = \frac{\frac{3}{2} \left(\frac{d_1}{s} \right)^2 G(X')}{1 - \frac{5}{24} \left(\frac{d_1}{s} \right)^2 H(X')} \quad \dots \dots \dots (3.3)$$

d_1 : 導體外徑

s : 導體中心間隙

$$X' = \sqrt{0.8} X = 0.894 X$$

$$G(X') = \frac{X'}{4} \frac{\operatorname{ber} X' \operatorname{ber}' X' + \operatorname{bei} X' \operatorname{bei}' X'}{(\operatorname{ber} X')^2 + (\operatorname{ber}' X')^2}$$

$$H(X') = \frac{F(X')}{G(X')}$$

상기 양계산에 필요한 $F(X)$ 및 $G(X)$ 의 값은 표 7 및 표 8에 표시되는 바와 같다.

(2) Inductance(L)

地中 cable 의 inductance 를 산출하는 공식은 架空線에 대한 것과 동일한 다음식이 사용된다.

$$L = 0.2 \log_e \frac{2S}{d_1} + 0.05 \quad mH/km$$

但, s =導體相互間의 中心距離 (mm)

d_1 =導體外徑 (mm)

한편, Westinghouse 社의 T&D 참고서에 의하면, pipe type cable 의 inductance 는 表皮效果와 近接效果의 영향을 받아 그 산출식은 간단치 않고, 도체가

cradle 배치인 경우는 정삼각형배치 때보다 약 15% inductance 값이 증가한다는 것이다.

(3) 靜電容量(Capacitance)

pipe type cable 의 도체는 金屬箔膜의 tape 가 그 절연체위를 둘러싸고 있으므로 靜電容量은 架空線에 대한 것과 같은 공식을 사용할 수 있다.

$$C = 0.0243 \frac{\Sigma}{\log_{10} \frac{d_2}{d_1}} \text{ 또는 } \frac{\Sigma}{2 \log_e \frac{d_2}{d_1}} \times \frac{1}{9} \mu F/km$$

단, d_2 =絕緣體外徑 (mm)

d_1 =導體外徑 (mm)

Σ =誘電率

그리고 誘電率의 값은 표 6과 같다.

표 6. 誘電率(Σ)

油浸紙 3.7	Butil 고무 4.0
polyethylene	2.3	Chloroblane	6.0
架橋 Polyethylene	2.3	Bynil	7.0
天然고무 4.0		

(4) Conductance

地中 cable 에서는 conductance 의 逆數인 절연저항으로 기술되어 있으므로 이에 따르기로 한다.

架空線에서는 碳子沿面의 漏洩電流 그리고 전선표면의 corona 전류의 크기에 따라 等價 conductance 의 값이 정해졌으나 일반 사용전압에서는 그 값이 무시할 수 있을만큼 적었다.

그러나, 地中 cable 에서는 'conductance'의 영향은 무시할 수 없다. Westinghouse 社 T&D 참고서 78항에 나타나 있는 수식을 다음에 소개한다.

$$R = \frac{1.112 C}{f \cdot \epsilon \cos \phi} \times 10^6 \quad \Omega/km$$

단, f : 周波數

图 7. F(X)

丑 8. $G(X)$

ϵ : 誘電率 $\cos\phi$: 絶緣力率

G: 形狀係數

$$\text{單心 cable: } G = 2,303 \log_{10} \frac{d_2}{d_1}$$

윗식에 있어 絶緣力率은 전압, 온도에 따라 변화하고
力率角度가 작을 때는 절연체의 誘電正接($\tan \delta$)과 같은
값이 된다. 그리고 絶緣力率의 값은 표 9와 같다.

표 9. $\cos\phi$ 及 $\tan \delta$ 的 최대치

Cable 온도(°C)	Solid Paper	Oil Filled Low Pressure	Gas Filled Low Pressure
25~60	0.009	0.0060	0.009
70	0.015	0.0075	0.013
80	0.021	0.0090	0.018
85	0.025	0.0097	0.022
90	0.030	0.0105	0.027

注: 신규제작의 $\cos\phi$ 값은 본표보다 낮고 광범위하게
변화한다.

3. 線路定數의 계산

장차 수도서울을 관통하여 數設될 161KV 1250mcm² (633.4mm²), pipe type cable의 線路定數를 前記 계산식에 의하여 산출해 보기로 한다.

(1) 20°C의 직류저항(r_0)

$$r_0 = \frac{10^3}{58Aq_c} K_1 \cdot K_2 \cdot K_3 \cdot K_4 \\ = \frac{10^3}{58 \times 633.4 \times 1.0} \times 1.03 \times 1.0 \times 1.01 \times 1.01 \\ = 0.0286 \quad \Omega/\text{km}$$

(2) 75°C의 교류저항(r)

$$k_1 = 1 + \alpha(T_1 - 20) \\ = 1 + 0.00393(75 - 20) = 1.216$$

$$k_2 = 1 + \beta(\lambda_s + \lambda_p)$$

$$X = \sqrt{\frac{8\pi f \mu_s \cdot K_{s1}}{\gamma_0 K_1 \times 10^6}} = \sqrt{\frac{8\pi \times 60 \times 1 \times 1}{0.0286 \times 1.216 \times 10^{-6} \times 10^6}} \\ = 2.08$$

표 7에서

$$\lambda_s = F(X) = 0.091$$

$$X' = 0.894 X = 0.894 \times 2.08 = 1.86$$

표 7 및 8에서

$$F(X') = 0.059$$

$$G(X') = 0.140$$

$$H(X') = F(X')/G(X') = 0.059/0.14 = 0.421$$

$$d_1 = \sqrt{\frac{4 \times 633.4}{0.9\pi}} = 31.5 \text{mm} (\text{그림 1에서})$$

$$S = 2 \times \frac{31.5}{2} + 2 \times 17.25 = 66 \text{mm}$$

$$d_1/S = 31.5/66 = 0.4775$$

$$(d_1/S)^2 = 0.228$$

$$\lambda_p = \frac{3/2(d_1/S)^3 G(X')}{1 - \frac{5}{24}(d_1/S)^2 H(X')} = \frac{1.5 \times 0.228 \times 0.14}{1 - \frac{5}{24} \times 0.228 \times 0.421} \\ = 0.0488$$

$$k_2 = 1 + \beta(\lambda_s + \lambda_p) = 1 + 1.7(0.091 + 0.0488) = 1.238$$

$$r = 0.0286 \times 1.216 \times 1.238 = 0.0431 \quad \Omega/\text{km}$$

(3) Inductance(L)

$$L = 0.2 \log_e \frac{2S}{d_1} + 0.05$$

$$= 0.2 \log_e \frac{2 \times 66}{31.5} + 0.05 = 0.2 \times 3.74 + 0.05 = 0.798 \text{ mH/km}$$

Reactance

$$\omega L = 2\pi f L = 2\pi \times 60 \times 0.798 \times 10^{-3} = 0.301 \quad \Omega/\text{km}$$

(4) Capacitance(C)

$$C = \frac{\Sigma}{2 \log_e \frac{d_2}{d_1}} \times \frac{1}{9} = \frac{3.7}{2 \log_e \frac{57}{31.5}} \times \frac{1}{9} = 0.348 \mu\text{F}/\text{km}$$

Susceptance

$$\omega C = 2\pi f C = 2\pi \times 60 \times 0.348 \times 10^{-6} = 0.000132 \text{ v/km}$$

(5) 절연저항

$$G = 2.303 \log_{10} \frac{d_2}{d_1} = 2.303 \log_{10} \frac{57}{31.5} = 0.593$$

$$R = \frac{1.112G}{f \cdot \epsilon \cdot \cos\phi} \times 10^6 = \frac{1.112 \times 0.593}{60 \times 3.7 \times 0.00825} \times 10^6 = 0.36 \times 10^6 \quad \Omega/\text{km}$$

4. 전력 Cable의 許容電流(Ampacity) 계산 방법(JCS-168-B)

地中線에 앞서 架空線의 許容電流를 검토해 보면, 架空線의 도체는 ACSR 또는 銅等의 裸線이고 導體接續도 금속만으로 된 接續管을 사용하고, 絶緣材도 磁器로 된 애자와 空氣이므로 架空線의 허용전류는 도체 자체의 그 기계적 특성이 변질하지 않는 허용온도범위 내에서 책정되는 것이다. 그리고 架空線에 있어서는 극히 짧은 直長의 것을 제외하고는 그 최대사용전류는 도체의 허용온도보다 전압강하의 허용치에서 제한되고, 그 수치는 허용온도에 대 한 것보다 상당히 下迴하고 있다.

따라서 架空線에 있어서는 사용전류가 허용전류에 가까워지는 예는 稀少하고, 또 電流過多로 인하여 전선이 용단되는 사고도 殆히 없다.

그리나, 地中線에 있어서는 도체가 油浸紙로 절연되고, 도체접속 또는 端子部는 合成樹脂 또는 compound

를 사용하고 있는 관계로 그 허용전류는 도체자체의 온도에 대한 기계적 특성보다 그絕緣材의 耐熱特性에서 정해지고, 그 수치도 裸線으로 사용하는 架空線의 그것보다 상당히 낮아진다.

地中線의 이러한 絝緣材는 비교적 얕은 온도에서 변질되어 電氣事故를 발생시키고, 그 수명도 단축시킬 우려가 있으므로 地中線의 許容電流算出은 신중을 기해야 한다. 그리고 단락사고 발생시의 단락전류로 인하여 발생되는 열에 대해서도 도체의 허용온도범위 내에 들어오는지 검토해야 한다.

(1) 허용전류

cable의 허용전류는 cable의 도체저항, 誘電體損失, 热的定數 및 주위조건에 의하여 결정된다. 다음은 JCS-168-B에서 直埋式 pipe type cable에 관한 것을 초록한 것이다.

$$I = \sqrt{\frac{T_1 - T_2 - T_d}{nrR_{th}}}$$

但, n : cable의 線心數

r : 導體의 交流實效抵抗 (Ω/cm)

T_1 : 導體의 許容最高溫度 ($^{\circ}C$)

T_2 : 基底 即 주위溫度 ($^{\circ}C$)

T_d : 誘電體損失에 의한 溫度上昇 ($^{\circ}C$)

R_{th} : 全 热抵抗 $^{\circ}C\cdot cm/w$

(2) 導體交流抵抗(r)

$$r = r_0 k_1 k_2$$

$$r_0 = \frac{10^3}{58Aq_c} K_1 \cdot K_2 \cdot K_3 \cdot K_4$$

第2章 線路定數 參照

(3) 絝緣體의 热抵抗(R_1)

pipe type cable의 경우,

$$R_1 = \frac{\rho_1}{6\pi} \log_e \frac{d_2}{d_1}$$

但, ρ_1 : 전연체의 고유열저항 ($^{\circ}C \cdot cm/W$)

d_1 : 도체외경

d_2 : 절연체외경, 遮蔽層 및 pipe type cable의 補強層을 포함한다.

(4) Cable 外裝의 열저항(R_2)

pipe type cable의 경우

$$R_2 = \frac{\rho_2}{6\pi} \log_e \frac{d_4}{d_3}$$

但 ρ_2 : 外裝部의 고유열저항 ($^{\circ}C \cdot cm/W$)

d_3 : 外裝下徑

d_4 : 外裝外徑

(5) Cable 표면의 放散熱抵抗(R_3)

pipe type cable의 경우

(a) cable 표면부터 鋼管內面까지의 열저항

$$R_3 = \frac{74}{\sqrt{d_s}}$$

但, d_s : skid wire 下徑 (mm)

(b) pipe 表面放散熱抵抗

$$R_6 = \frac{10\rho_3}{\pi d_7}$$

但, ρ_3 : 표면 고유열저항 ($^{\circ}C \cdot cm^2/W$)

d_7 : pipe 외경 (mm)

(6) 土壤의 열저항

(a) pipe 防蝕層의 열저항(R_4)

$$R_4 = \frac{600}{2\pi} \log_e \frac{d_5 + 2t_2}{d_5}$$

但, d_5 : pipe 외경

t_2 : pipe 防蝕層의 두께

(b) 土壤의 열저항(R_5)

$$R_5 = \frac{g \cdot q_2}{2\pi} \left[\log_e \frac{4L_0}{d_7} + \sum^{N_c-1} \log_e \sqrt{\frac{4L_0 L_m}{X_m^2} + 1} \right]$$

但, g : 土壤의 固有熱抵抗 ($^{\circ}C \cdot cm/W$)

q_2 : 土壤熱抵抗의 低減率

L_0 : 热抵抗을 구하는 基準 cable 的 地表面부터 그 중심까지의 깊이.

L_m : m 番차 cable의 地表面부터의 깊이.

X_m : 基準 cable 과 m 番차 cable과의 中心距離.

N_c : pipe 條數

d_7 : pipe 防蝕層外徑

(7) 誘電體損失 및 誘電體損失에 依한 溫度上昇(T_d)

pipe type cable의 誘電體損失에 의한 온도상승은 다음 식에 의하여 구해진다.

$$T_d = W_d \left(\frac{1}{2} R_1 + R_3 + R_4 + R_5 \right)$$

본식에서 誘電體損失(W_d)는 다음과 같다.

$$W_d = 2\pi f c \frac{E^2}{3} n \tan\delta \times 10^{-5} (W/cm)$$

但, f : 周波數 (Hertz)

c : 靜電容量 ($\mu F/km$)

E : 最高線間電壓 (KV)

$\tan\delta$: 誘電正接

n : 線心數

(8) pipe 損失

pipe type cable의 補強層 및 pipe 内 湍流損失는 다음과 같이 산출된다.

$$P_s = P_r + P_p = \frac{W_r}{W_c} + \frac{W_p}{W_c}$$

但, P_r : 補強層損失率

P_p : pipe 内 湍流損失率

W_r : 補強層損失 (W/cm)

W_p : pipe 内 湍流損失 (W/cm)

W_c : 導體損失 (W/cm)

P_r 및 P_p 의 계산은 다음식에 의한다.

P_r 의 계산

$$P_r = \frac{2r_p x_m^2}{r(r^2_p + x_m^2)}$$

$$\text{但}, r_p = \frac{r_a r_w}{r_a + r_w} (\Omega/\text{cm})$$

r_a : 補強層의 저항 (Ω/cm)

r_w : skid wire의抵抗 (Ω/cm)

x_m : 補強層 reactance (Ω/cm)

r : 導體交流抵抗 (Ω/cm)

r_a , r_w 및 x_m 의 계산

$$r_a = \frac{\rho_a}{A_p} \sqrt{1 + \left(\frac{\pi D_{am}}{l_a}\right)^2} \times 10^{-6} (\Omega/\text{cm})$$

$$r_w = \frac{\rho_w}{A_p} \sqrt{1 + \left(\frac{\pi D_{wn}}{l_w}\right)^2} \times 10^{-6} (\Omega/\text{cm})$$

단, ρ_a , ρ_w : 補強層 및 skid wire의 固有抵抗 ($\mu\Omega \cdot \text{cm}$)

A_p : 補強層 및 skid wire의 斷面積 (cm^2)

D_{am} , D_{wn} : 補強層 및 skid wire의 平均直徑

l_a , l_w : 補強層 및 skid wire의 卷線 pitch

注: ρ_a , ρ_w 는 通常의으로 50°C 의 값을 취한다.

$$x_m = 4\pi f \log_e \left(\frac{4d_s}{d\delta + d_s} \right) \times 10^{-9} (\Omega/\text{cm})$$

단, $d\delta$: skid wire의 下徑

d_s : skid wire의 경

P_p 의 계산

$$P_p = \begin{cases} \frac{1.15d_s - 0.149D_i}{r} \times 10^{-9} & (\text{정삼자배치}) \\ \frac{0.438d_s + 0.226D_i}{r} \times 10^{-9} & (\text{cradled 배치}) \end{cases}$$

단, d_s : skid wire의 경 (mm)

D_i : pipe 내경 (mm)

(9) 全熱抵抗(R_{th})

直埋式 pipe type cable의 경우는 다음식에 의하여 산출된다.

$$R_{th} = R_1 + (1+P_r)R_3 + (1+P_r+P_p)(R_4 + L_f R_5)$$

단, L_f : 損失率

5. 許容電流의 계산(1)

수도서울을 관통하여 설치될 161KV 1250mcm (633.4 mm²), pipe type cable의 許容電流를 前 4章의 수식에 의하여 계산해 보기로 한다.

(1) 敷設條件

敷設條件은 그림 2와 같다. 即

敷設깊이 : 3呎

相互거리 : 2呎

土壤固有熱抵抗 : $0.9 \times 100^\circ\text{C} \cdot \text{cm}/W$

損失率 : 0.625(負荷率 75%에 해당한 值)

(2) 導體抵抗

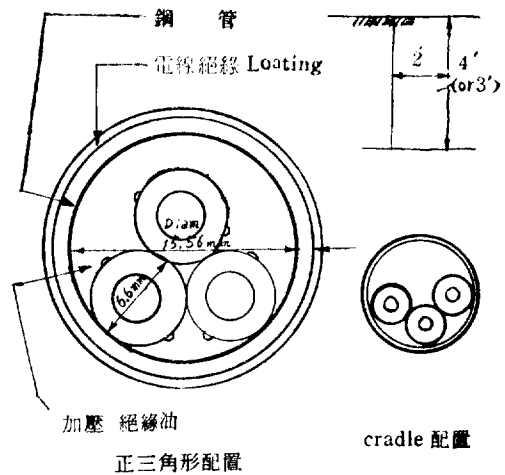


그림 2. High pressure oil filled pipe type cable의 단면

2條의 鋼管을 설치하고, 이 중 하나만에 3條의 單心導體가 삽입되고, 絝緣油는 巡環됨으로 cable의 사용온도는 85°C 까지 허용될 수 있다.

20°C 의 직류최대저항 $r_0 = 0.0286 \times 10^{-5} \Omega/\text{cm}$

85°C 의 직류최대저항 $r_0 k_1 = 0.0286 \times 1.255 \times 10^{-5} \Omega/\text{cm}$

85°C 의 表皮效果 $\lambda_s = F(X)$

$$X = \sqrt{\frac{8\pi f k_{st}}{r_0 k_1 \times 10^9}} = \sqrt{\frac{8\pi \times 60 \times 1}{0.0359 \times 10^4}} = 2.05$$

數表에서

$$\lambda_s = F(X) = 0.086$$

85°C 의 균점효과

도체외경(d_1)=31.5mm

도체간의 간격(S)=66mm

$$X' = \sqrt{0.8} \times 0.894 \times 2.05 = 1.83$$

$$G(X') = 0.132, F(X') = 0.056$$

$$H(X') = F(X')/G(X') = 0.056/0.132 = 0.424$$

따라서

$$\lambda_p = \frac{3/2(d_1/S)^2 G(X')}{1 - \frac{5}{24}(d_1/S)^2 H(X')} = \frac{1.5 \times \left(\frac{31.5}{66}\right)^2 \times 0.132}{1 - \frac{5}{24} \left(\frac{31.5}{66}\right)^2 \times 0.424} = 0.0461$$

85°C 의 교류최대저항

$$r = r_0 k_1 h_2 = r_0 k_1 \{1 + \beta(\lambda_s + \lambda_p)\}$$

$$= 0.0286 \times 10^{-5} \times \{1 + 1.7(0.086 + 0.0461)\} \times 1.255$$

$$= 0.0286 \times 10^{-5} \times 1.255 \times 1.224 = 0.44 \times 10^{-6} \Omega/\text{cm}$$

(3) 誘電體損失

$$W_d = 2\pi fcn \frac{E^2}{3} \tan\delta \times 10^{-6}$$

$$= 2\pi \times 60 \times 0.348 \times 3 \times \frac{161^2}{3} \times 0.005 \times 10^{-6}$$

$$= 0.1695 \text{ W/cm}$$

(4) 热抵抗

绝缘體热抵抗

$$R_1 = \frac{\rho_1}{6\pi} \log_e \frac{d_2}{d_1} = \frac{550}{6\pi} \log_e \frac{57}{31.5} = 17.3$$

$$\text{°C}\cdot\text{cm}/W$$

境界面热抵抗

$$R_3 = \frac{74}{\sqrt{d_6}} = \frac{74}{\sqrt{59}} = 9.63 \quad \text{°C}\cdot\text{cm}/W$$

pipe 防蝕層热抵抗

$$R_4 = \frac{600}{2\pi} \log_e \frac{d_5 + 2t_2}{d_5} = \frac{600}{2\pi} \log_e \frac{168.3 + 2 \times 1.77}{168.3}$$

$$= 1.8 \text{ °C}\cdot\text{cm}/W$$

土壤热抵抗(1회설치)

$$R_5 = \frac{g \cdot q_2}{2\pi} \log_e \frac{4L_o}{d_7} = \frac{100 \times 0.9}{2\pi} \log_e \frac{4 \times 1218}{171.8}$$

$$= 14.33 \log_e 28.14 = 14.33 \times 3.346$$

$$= 48 \text{ °C}\cdot\text{cm}/W$$

<제21권 제2호(1971년 3월호)에 계속>



謹 賀 新 年

會員諸位의 建勝을 비나이다

1972년 元旦

大韓電氣學會

會長	丁性桂	辛基祚
副會長	韓萬春	成樂正
總務理事	崔元銀	吳煥宗
財務理事	申芝秀	李鍾允
編修理事	朴旻鎬	
	玄京鎬	
調查理事	李在淑	成英權
企劃理事	姜圭錫	李承院
監事	梁興錫	
	金相演	宋吉永